

نقش کنترل کننده‌های ساختاری در هیدروژئوشیمی چشممه‌های تراورتن ساز منطقه آذرشهر، شمال غرب ایران

کریم تقی‌پور^(۱)، محمد‌مهدی خطیب^(۲)، محمود رضا هیلهات^(۳)، عبدالرضا واعظی هیر^(۴) و اسماعیل شبانیان^(۵)

۱. دانشجوی دکترای تکتونیک، گروه زمین‌شناسی، دانشگاه بیرجند

۲. استاد گروه زمین‌شناسی، دانشگاه بیرجند

۳. استادیار گروه زمین‌شناسی، دانشگاه بیرجند

۴. دانشیار گروه علوم زمین، دانشگاه تبریز

۵. استادیار دانشکده علوم زمین، دانشگاه تحصیلات تکمیلی علوم پایه زنجان

تاریخ دریافت: ۹۶/۱۱/۰۱

تاریخ پذیرش: ۹۷/۰۳/۱۶

چکیده

نهشت‌های تراورتن منطقه آذرشهر، واقع در شمال غرب ایران، یکی از مجموعه‌های منحصر به فرد تراورتن در دنیا می‌باشد. فرایند نهشت تراورتن در حال حاضر نیز در تعدادی از چشممه‌های فعال تراورتن ساز ادامه دارد. در این پژوهش با تلفیق داده‌های ساختاری و تکتونیکی، مطالعات ژئوفیزیکی و هیدروژئوشیمیابی به مطالعه منشا آب و جایگاه چشممه‌های فعال تراورتن ساز پرداخته شد. نتایج حاصل از اندازه‌گیری‌های برجا و تیپ تراورتن‌ها نشان داد که این چشممه‌ها از نوع ترموزن و با منشا هیدروترمال هستند. بررسی نمودارهای هیدروژئوشیمیابی و نسبت‌های یونی نشان داد که تیپ آب چشممه‌ها از نوع کربناته کلسیم می‌باشد که در اثر اختلاط با آب‌های شور، میزان یون سدیم و کلر افزایش یافته است. مجاورت این نهشت‌های با دریاچه ارومیه و بررسی نتایج حاصل از مطالعات ژئوفیزیک نشان داد که منشا این آب‌های شور، آب دریاچه ارومیه و یا شورابههای مرتبط با آن می‌باشد که از طریق سیستم‌های شکستگی هدایت شده و در پهنه‌های کششی بین گسل‌ها با سیالات هیدروترمال اشباع از بی‌کربنات اختلاط یافته‌اند. این پدیده نشان می‌دهد که هیدروژئوشیمی چشممه‌های مذبور تحت تاثیر آب دریاچه ارومیه و یا شورابههای مرتبط با آن در قاعده تراورتن‌ها می‌باشد.

واژه‌های کلیدی: چشممه‌های تراورتن، کنترل کننده‌های ساختاری، هیدروژئوشیمی، دریاچه ارومیه.

چشممه‌های ایجادکننده آنها با سیستم‌های شکستگی کاملاً

Bargar, 1978; Chafetz پذیرفته شده است (به عنوان مثال and Folk, 1984; Guo and Riding, 1992; Altunel and Hancock, 1993; Ford and Pedley, 1996; Hancock et al., 1999; Atabey, 2002 تراورتن آذرشهر از نوع شکاف-پشته است و در ارتباط با

مقدمه

نهشت‌های تراورتن در منطقه آذرشهر و در مجاورت دریاچه ارومیه با وسعت بیش از ۵۰ کیلومترمربع یکی از مجموعه‌های منحصر به فرد تراورتن در دنیا از نظر وسعت و ضخامت می‌باشد. امروزه ارتباط نهشت‌های تراورتن و

* نویسنده مرتبط: taghipour@birjand.ac.ir

مجموعه آتشفشاری سهند بخشی از کمان ماقمایی ارومیه-دختر می باشد (Alavi, 1994). مجموعه آتشفشاری سهند بر روی بی سنگی از سنگ های رسوبی با سن های مختلف قرار گرفته است. این مجموعه بیشتر از گدازه های ریولیتی، داسیتی و آندزیتی تشکیل شده که در بین آنها توف و خاکستر فراوان دیده می شود. قدیمی ترین واحد های سنگی در منطقه مورد مطالعه، سازنده های لالون و میلا به سن کامبرین می باشند که به صورت ناپیوسته با واحد های مزو زوییک و نهشت های آذرآواری پلی-کواترنری پوشیده شده اند. واحد های مزو زوییک در منطقه شامل آهک های ضخیم و توده ای به سن ژوراسیک (هم ارز سازند تیز کوه) دلیچای) و آهک های کرتاسه زیرین (هم ارز سازند تیز کوه) می باشند (شکل ۱). این واحد های آهکی در بخش جنوب باختり با مجموعه نهشت های کرتاسه فوکانی همبری گسلی دارد. واحد های سنگی کرتاسه فوکانی شامل شیل های سیاه، ماسه سنگ و شیل های آهکی همراه با میان لایه هایی از گدازه های اسیدی و بازیک می باشند (قدیرزاده، ۱۳۸۱). واحد های سنگی نئوزن با ناپیوستگی زاویه دار بر روی واحد های قدیمی تر قرار گرفته اند. این سنگ ها شامل کنگلومرای ولکانو کلاستیک و لاهار به سن میوسن و کنگلومرا، ماسه سنگ و سیلتستون به سن پلیوسن-کواترنری می باشند. در کواترنری و هم زمان با فعالیت های آتشفشاری مجموعه سهند، رسوب گذاری واحد های تراورتن آغاز شده است. بی سنگ نهشت های تراورتن واحد های به سن پلیو-کواترنری است. فرایند رسوب گذاری تراورتن هم اکنون نیز به طور محدود در تعدادی چشم های فعال از جمله چشم های تاپ تاپان، قزل داغ و داشکسن ادامه دارد.

روش مطالعه

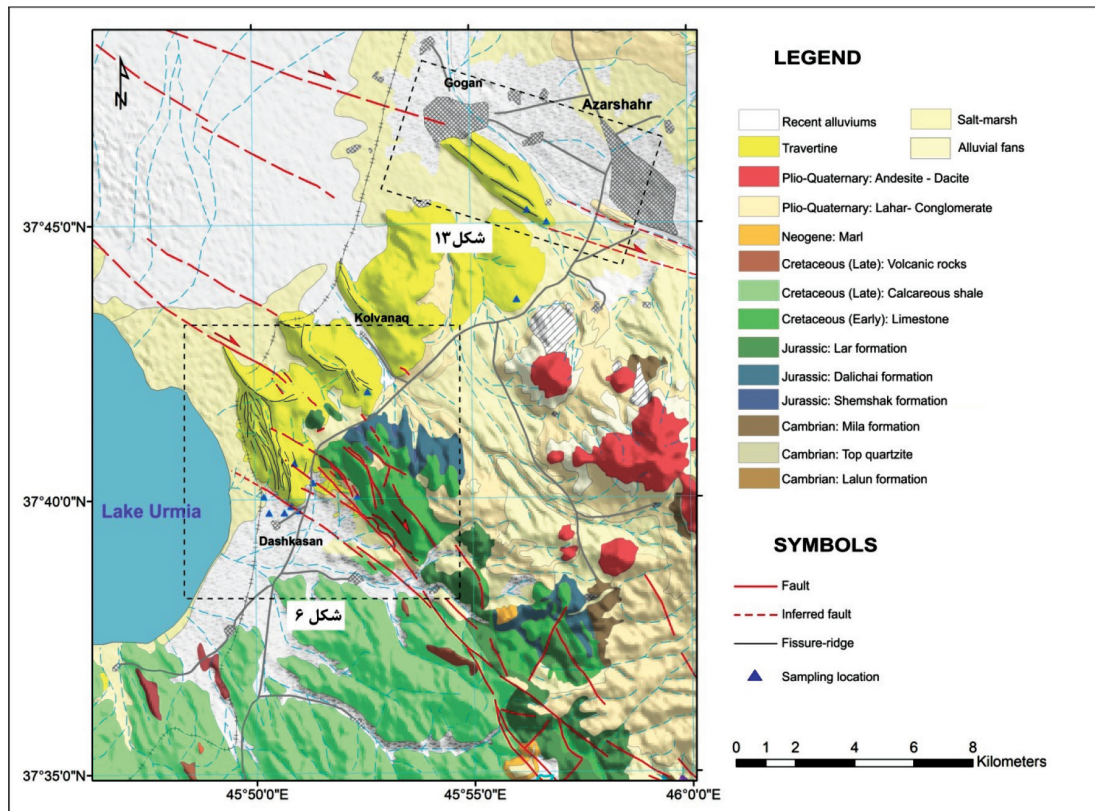
در این پژوهش مطالعات زمین شناسی و ساختاری با استفاده از پردازش تصاویر ماهواره ای و داده های DEM و نیز پیمایش های صحرایی انجام شد. به منظور بررسی ویژگی های هیدرورژئو شیمیایی و منشا آب چشم های تراورتن ساز در منطقه مورد مطالعه، اقدام به نمونه برداری و اندازه گیری بر جا در این چشم ها شد. پس از شناسایی چشم های فعال

1. Relay ramp

فعالیت گسل های امتداد لغز منطقه تشکیل شده اند (تقی پور و عباسی، ۱۳۸۴؛ تقی پور و مجل، ۱۳۹۲). تراورتن های تیپ شکاف پشته از یک شکاف مرکزی و لایه های تراورتن شیبدار مجاور آن تشکیل می شوند. مطالعات انجام یافته نشان می دهد که تراورتن های تیپ شکاف پشته عمده اند پهنه های هم پوشانی گسل های امتداد لغز یا پهنه های هم پوشانی گسل های نرمال ایجاد می شوند (Hancock et al., 1999; Atabay, 2002; Altunel, 2005 آذر شهر تعدادی از چشم های تراورتن ساز در حال حاضر نیز فعال می باشند. مطالعات متعددی برای بررسی ویژگی های هیدرورژئو شیمیایی و منشا آب چشم های تراورتن ساز در دنیا انجام شده است (Dilsiz, 2006; Liu et al., 2012)، ولی تاکنون ویژگی های هیدرورژئو شیمیایی چشم های تراورتن ساز و منشا آب آنها در ایران و به ویژه در آذر شهر مورد مطالعه قرار نگرفته است. از سویی دیگر قرار گرفتن این نهشت ها و چشم های در مجاورت دریاچه ارومیه، این ایده را مطرح می سازد که بین این چشم های و آب دریاچه ارومیه ارتباطی وجود داشته باشد. با توجه به نبود پیزومتر در سازنده های سخت منطقه، چشم های تراورتن ساز تنها منابع موجود برای بررسی تغییرات آب این سازنده های می باشند. مطالعات انجام یافته توسط سازمان زمین شناسی و اکتشافاتمعدنی کشور نشان می دهد که آب دریاچه ارومیه در مناطق اطراف روستای شیرامین (جنوب منطقه مورد مطالعه) و گوگان (شمال منطقه مورد مطالعه) باعث شور شدن آبخوان ها شده است (شارمد و همکاران، ۱۳۹۴). البته باید در نظر داشت مطالعاتی که نشان دهنده هجوم آب دریاچه ارومیه به مناطق اطراف شده، منحصر به آبخوان های آزاد و آبرفتی است، در حالی که منابع تغذیه کننده چشم های تراورتن ساز، سنگ های سخت و عمیق می باشند. در این پژوهش با تلفیق داده های تکتونیکی، هیدرورژئو شیمیایی و ریوفیزیکی نقش کنترل کننده ساختاری در شکل گیری چشم های تراورتن ساز و منشا آب آنها در سازنده های سخت بررسی شده است.

زمین شناسی منطقه مورد مطالعه

منطقه مورد مطالعه در حاشیه باختり مجموعه آتشفشاری سهند در جنوب آذر شهر قرار دارد (شکل ۱).



شکل ۱. نقشه زمین‌شناسی منطقه مورد مطالعه

نتایج و بحث

نتایج حاصل از اندازه‌گیری‌های برجا نشان می‌دهد که pH آب در تمامی چشمه‌های تراوerten ساز پایین‌تر از ۷ می‌باشد. همچنین دمای بالای این چشمه‌ها (جدول ۱) نسبت به میانگین دمای آب‌های زیرزمینی منطقه که تقریباً ۱۱ درجه سانتیگراد می‌باشد (شامرد و همکاران، ۱۳۹۴) نشان می‌دهد که آب این چشمه‌ها از یک منبع هیدروترمال منشا گرفته‌اند. میزان دما و pH آب این چشمه‌ها نشان می‌دهد که نهشته‌های تراوerten منطقه از نوع ترموزن (Thermogenic) می‌باشند (Pantecost, 2005). این وضعیت به‌ویژه در مورد چشمه S3 با دمای ۲۶ درجه سانتی‌گراد کاملا مشهود می‌باشد. با این حال تاثیرپذیری آبدهی این چشمه‌ها از میزان بارندگی‌های سالیانه (تقی‌پور و مجلل، ۱۳۹۲) نشانگر اختلاط آب این چشمه‌ها با آبهای جوی نیز می‌باشد.

تراوerten ساز، نمونه‌برداری در ظرف‌های پلاستیکی انجام شد. نمونه‌های برداشت شده در آزمایشگاه مرکزی دانشگاه تبریز با روش کروماتوگرافی یونی مورد آزمایش قرار گرفت. آنالیز شیمیایی نمونه‌ها شامل آنیون‌ها و کاتیون‌های اصلی می‌باشد. همچنین در محل نمونه‌برداری خصوصیات فیزیکی شامل آبدهی چشمه‌ها و درجه حرارت آب اندازه‌گیری شده دمای آب با استفاده از دماسنج دیجیتالی در محل خروجی چشمه‌ها اندازه‌گیری شد. خصوصیات شیمیایی شامل pH و هدایت الکتریکی آب چشمه‌ها نیز در محل نمونه‌برداری به کمک دستگاه‌های پرتابل اندازه‌گیری شد. به دلیل خشکسالی‌های اخیر تعدادی از چشمه‌های تراوerten ساز در منطقه خشک شده‌اند و تعداد ۱۱ چشمه فعال باقی مانده‌اند. علاوه بر این چشمه‌ها از دو چشمه گسلی نیز که در مجاورت نهشته‌های تراوerten قرار گرفته‌اند (چشمه ولزید و چشمه داشکسن ۶) نیز نمونه‌برداری انجام گرفت (شکل ۲ و جدول ۱).

قابل تفسیر است. نکته قابل بحث در تغییرات کاتیون ها در نقاط مختلف حوضه می باشد. همچنین در بیشتر چشمه ها، کاتیون غالب، کلسیم و تیپ آب بی کربناته کلسیم $(\text{Ca}-\text{HCO}_3)$ می باشد.

در نمودار پایپر قرار گرفتن بسیاری از نمونه ها در امتداد یک خط بر اساس صداقت (۱۳۷۸)، تأثیر اختلاط بین آب های مختلف را نشان می دهد. اختلاط آب های با شیمی مختلف برخلاف آبخوان های آبرفتی، در آبخوان های آهکی یک پدیده غالب است و علت آن انتقال آب های با شیمی مختلف در امتداد شکستگی ها و اختلاط آنها در محل تقاطع درزه ها می باشد.

به منظور بررسی تغییرات توازن ها و همچنین تغییرات در تیپ (type) آب در چشمه های منطقه مورد مطالعه از نمودار پایپر استفاده شد. در این نمودار تعداد زیادی نمونه را می توان نشان داد که از ترکیب سه میدان مجزا درست شده است. در این نمودار بون ها در دو مثلث به صورت درصدی از آب ها و کاتیون ها به میلی اکی والان بر لیتر رسم می شوند که مقادیر ترسیمی برای آنالیز به لوزی بین دو مثلث منتقل می شود. همان طور که در نمودار پایپر مربوط به چشمه های منطقه مورد مطالعه (شکل ۳) ملاحظه می شود آب های غالب در تمام نمونه ها بی کربنات می باشد که با توجه به لیتو لوزی خاص منطقه که از سنگ های آهکی تشکیل شده است،



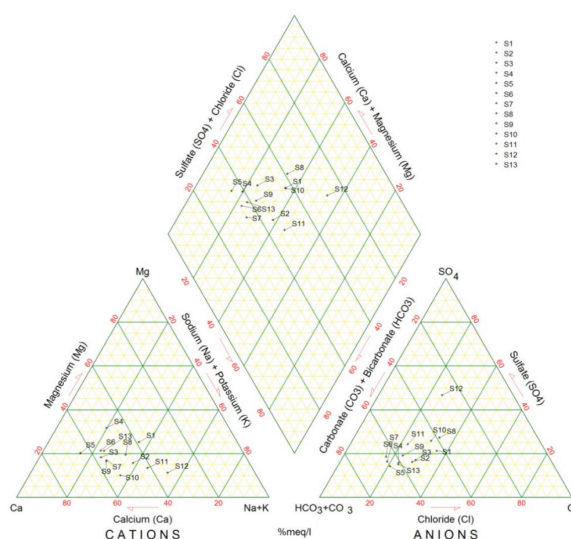
شکل ۲. تصاویر تعدادی از چشمه های فعال تراوتن ساز. (الف) چشمه های قزل داغ ۲ و ۳، (ب) چشمه تاپ تاپان، (پ) چشمه جنوب کلوانق، (ت) چشمه داشکسن ۲، (ث) چشمه در بستر خشک دریاچه ارومیه (S12)، (ج) چشمه داشکسن ۱

1. Piper diagram

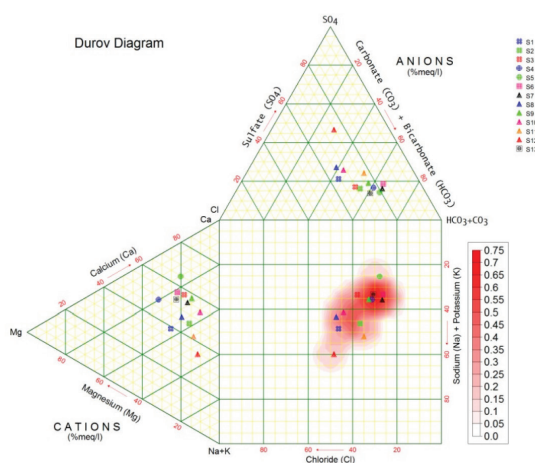
این نمودار تیپ‌های مختلف هیدروشیمیایی و بعضی از فرآیندهای هیدروشیمیایی را بهتر از نمودار پایپ نشان می‌دهد. به همین منظور نمودار دوروف برای نمونه‌های آب زیرزمینی منطقه رسم شد (شکل ۴). تمامی نمونه‌های مربوط به چشممه‌های تراوترن ساز در قطر مربع نمودار دوروف قرار گرفته‌اند که معرف اختلاط می‌باشد (Al-Bassam et al., 1997). موقعیت متفاوت چشممه S12 نسبت به سایر چشممه‌ها، به‌احتمال زیاد ناشی از قرار گرفتن آن در بستر خشک دریاچه ارومیه و تاثیر پذیرفتن از رسوبات زیپس دار بستر دریاچه باشد.

نمودار مثلثی دیگر، نمودار دوروف^۱ می‌باشد که بر اساس مجموع درصد آنیون‌ها و کاتیون‌ها به میلی-اکی والان بر لیتر رسم می‌شود. مقادیر آنیون‌ها و کاتیون‌ها در مثلث‌های مربوط ترسیم و سپس به مکان‌های مورد بررسی در مربع‌های اصلی امتداد داده می‌شوند. از مزایای نمودار دوروف نسبت به پایپ، نشان دادن بهتر تیپ‌های مختلف آبی و فرآیندهای هیدروشیمیایی مانند تبادل یونی و آمیختگی آبها با کیفیت‌های متفاوت است (Singhal & Gupta, 2010).

نمودار دوروف به ۹ میدان تقسیم می‌شود که هر میدان بیان‌کننده تیپ‌های مختلف و فرآیندهای خاص می‌باشد.



شکل ۳. نمودار پایپ چشممه‌های منطقه مورد مطالعه

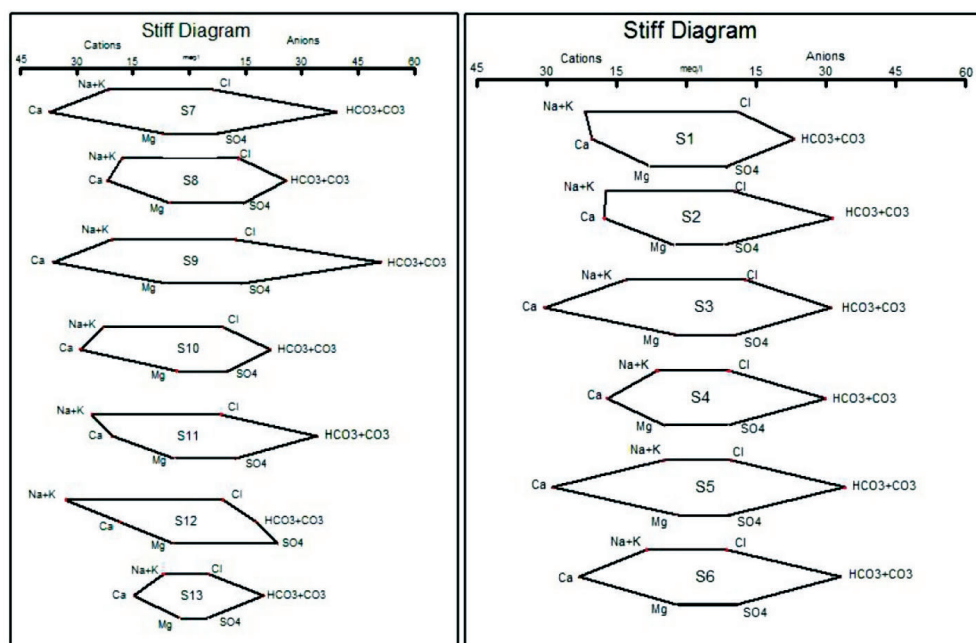


شکل ۴. نمودار دوروف برای چشممه‌های منطقه مورد مطالعه

جدول ۱. نتایج اندازه‌گیری‌های صحرابی (خرداد ماه ۹۶) و نتایج آنالیز شیمیایی چشمدهای منطقه مورد مطالعه (اعداد بر حسب ppm می‌باشند)

گرفته بی برد. مقایسه نمودار استیف نمونه‌های مورد آزمایش (شکل ۵) با نمودار استاندارد نشان می‌دهد که سنگ منشا اغلب نمونه‌ها سنگ آهک می‌باشد. این وضعیت با لیتوولوژی واحدهای اطراف نهشتلهای تراورتن که اغلب آهک‌های رژواسبیک و کرتاسه می‌باشند سازگاری دارد. همچنین برخی از نمونه‌ها شباختهایی با منشا آب دریا نشان می‌دهند (مانند S11 و S12) که می‌تواند ناشی از اختلاط آبهای زیرزمینی با آب دریاچه و یا شورابههای مرتبط با آن باشد.

نمودار استیف: در این نمودار نتایج تجزیه شیمیایی بر حسب میلی اکی والان بر لیتر (meq/l) بر روی خطوط افقی پیاده می‌شوند. با اتصال نقاط بدست‌آمده به هم شکل‌های مشخصی به وجود می‌آیند که از نظر مقایسه سریع تعداد زیادی نمونه‌ها، بسیار مفید است. برای رسم این نمودار از نرم‌افزار Rock Works 14 حاصل از هر نمونه با نمودار استاندارد (Hounslow, 1995) می‌توان تاحدی زیادی به نوع سازنده‌هایی که نمونه آب از آن منشأ



شکل ۵. نمودار استیف حشمه‌های منطقه مورد مطالعه

نسبت‌های یونی

و کاتیون‌های محلول در آب هستند، پی برد (Hounslow, 1995) (جدول ۲). نسبت‌های یونی برای تعیین قرابت شیمیایی و منشا یون‌ها برای تمامی نمونه‌ها محاسبه شد نسبت‌های یونی می‌توان به نوع کانی‌هایی که منشأ آنیون‌ها (جدول ۳).

جدول ۲. تعیین سنتگ منشأ یون‌های اصلی بر اساس نسبت‌های یونی (Hounslow, 1995)

پارامترها	مقدار	منشأ
$\frac{Na}{Na + Cl}$	$>0/5$	منبع سدیم دیگری از هالیت-آلیت، تبادل یونی
	$=0/5$	انحلال هالیت
	$<0/5 \quad TDS > 500$	تبادل یونی معکوس
	$<0/5 \quad 50 < TDS < 500$	خطای آمالز
$\frac{Mg}{Ca + Mg}$	$<0/5$	آب باران
	$=0/5$	هوازدگی دولومیت
	$>0/5$	هوازدگی سنتگ دولومیت، سنتگ آهک
	$>0/5$	انحلال دولومیت، تهذیشت کلسیت یا آب دریا
$\frac{Ca}{Ca + SO_4}$	$=0/5$	انحلال زیپس
	$<0/5 \quad Ph < 5/5$	اکسیداسیون پیریت
	$<0/5 \quad Ph(\text{neutral})$	حذف کلسیم-تبادل یونی یا رسوب کلسیم
	$>0/5$	منبع کلسیم دیگری از زیپس-کربنات‌ها یا سیلیکات‌ها
$\frac{Cl}{\text{Sum Anion}}$	$>0/8 \quad TDS > 500$	آب دریا، سورابه و یا تبخیر
	$>0/8 \quad TDS < 100$	آب بارش
	$<0/8$	هوازدگی سنتگ
	$>0/8$	هوازدگی سیلیکات یا کربنات
$\frac{HCO_3}{\text{Sum Anion}}$	$<0/8 \quad \text{sulphate high}$	انحلال زیپس
	$<0/8 \quad \text{sulphate low}$	سورابه یا آب دریا

جدول ۳. نتایج حاصل از محاسبه نسبت‌های یونی برای چشممه‌های منطقه مورد مطالعه

	Na/Na+Cl	Mg/Mg+Ca	Ca/Ca+SO ₄	Cl/sum anion	HCO ₃ /sum anion	Cl/HCO ₃ +CO ₃
S1	0.650	0.282	0.691	0.257	0.534	0.482
S2	0.655	0.171	0.729	0.196	0.652	0.300
S3	0.655	0.162	0.835	0.203	0.636	0.319
S4	0.609	0.283	0.787	0.156	0.699	0.223
S5	0.611	0.159	0.864	0.136	0.736	0.185
S6	0.736	0.188	0.805	0.110	0.72	0.153
S7	0.751	0.155	0.826	0.121	0.723	0.165
S8	0.585	0.200	0.616	0.244	0.486	0.502
S9	0.620	0.151	0.735	0.157	0.667	0.236
S10	0.699	0.101	0.737	0.222	0.526	0.422
S11	0.747	0.164	0.624	0.155	0.620	0.249
S12	0.768	0.166	0.425	0.183	0.353	0.518
S13	0.853	0.191	0.813	0.157	0.705	0.222

۳. نمودارهای ترکیبی که بر اساس غلظت یون های اصلی در برابر غلظت آنیون ها و کاتیون ها استوار می باشد.

۴. تهیه مقاطع عمود بر ساحل دریا که تغییرات کیفی آب را نشان می دهد. این روش برای تعیین موقعیت کلی سطح مشترک آب شور و شیرین نیز مفید می باشد. پروفیل های ژئوفیزیک ارائه شده در این پژوهش، نمونه ای از این پروفیل ها می باشد.

روش رول: روش رول (Revelle, 1941) معیار خوبی برای ارزیابی و تشخیص اختلاط آب های زیرزمینی با آب دریا یا آب های فسیلی است. این روش بر اساس رابطه (۱) استوار می باشد:



یون های بی کربنات و کربنات معمولاً فراوان ترین یون های موجود در آب های زیرزمینی هستند و در آب دریا به مقدار جزئی وجود دارند، در مقابل مقدار یون کلر در آب دریا بیش از یون های دیگر است اما در آب های زیرزمینی معمولاً کم است. بنابر نظر رول افزایش نسبت یون کلرید به مجموع یون های بی کربنات و کربنات می تواند دلیل خوبی بر نفوذ آب های شور در آبخوان های ساحلی باشد.

بر اساس مقادیری که در جدول ۳ ارائه شده است، میزان اندیس رول در چشممه های S1, S2, S3, S4 و S12 بالاترین مقدار را نشان می دهند. مقدار بالای اندیس رول در این چشممه ها که در مجاورت گسل ها و یا سیستم های شکستگی قرار دارند، می تواند نشانگر جریان و تداخل آب دریاچه و یا شورابه های مرتبط با دریاچه از طریق این گسل ها باشد. بر اساس (Singhal and Gupta, 2010)، این گسل ها به عنوان مجرأ عمل کرده و موجب هدایت شورابه ها به سمت چشممه ها شده است.

روش سیکدار: در روش سیکدار (Sikdar et al., 2001) با توجه به آنیون و کاتیون های اصلی، رخساره های آب شیرین، ترکیبی و شور در آبخوان های ساحلی و مناطق برخورد با لایه های آب شور تعیین می شود.

۱. رخساره آب شیرین: در این رخساره میزان یون

بررسی مقادیر حاصل از محاسبه نسبت های یونی برای چشممه های منطقه، در ذیل آورده شده است:

- در تمام نمونه ها، مقدار نسبت $\text{Na}/\text{Na}+\text{Cl}$ بیش از ۵/۰ است که حاکی از تبادل یونی می باشد.

- نسبت $\text{Mg}/\text{Mg}+\text{Ca}$ در تمام نمونه های آنالیز شده کمتر از ۵/۰ است که انحلال دولومیت و کلسیت را نشان می دهد و با لیتولوژی کارستی منطقه که عمدتاً سنگ های آهکی کرتاسه و ژوراسیک می باشد، کاملاً تطابق نشان می دهد.

- نسبت های یونی $\text{Ca}/\text{Ca}+\text{SO}_4$ در تمام نمونه ها بیشتر از ۵/۰ می باشد.

- مقادیر نسبت های $\text{Cl}/\text{sum anion}$ در تمام نمونه ها کمتر از ۸/۰ است که معرف هوازدگی و یا انحلال سنگ می باشد.

- مقدار نسبت $\text{HCO}_3/\text{sum anion}$ در تمام نمونه ها کمتر از ۸/۰ می باشد. مقدار پایین سولفات نشان می دهد که این نسبت ها مربوط به شورابه یا آب دریا می باشد. ولیکن مقدار بالای سولفات در نمونه S12 احتمالاً در اثر قرار گرفتن این چشممه در بستر خشک دریاچه و ناشی از انحلال ژپس موجود در رسوبات اطراف آن می باشد.

بررسی نفوذ آب شور دریاچه به سنگ های سخت و آهکی منطقه

با توجه به نتایج حاصل شده از بررسی نمودارهای پایپر و دوروف و نیز نسبت های یونی برای چشممه های مورد مطالعه، که نشان دهنده اختلاط با آب های شور می باشند و با در نظر گرفتن اینکه محدوده مطالعاتی در مجاورت دریاچه ارومیه قرار دارد، در این نوشتار جهت بررسی احتمال نفوذ آب شور به سنگ های آهکی و تراورتن های مجاور، از روش های تشخیص نفوذ آب شور استفاده شده مهم ترین این روش ها عبارتند از:

۱. نسبت رول که بر پایه نسبت غلظت یون کلر به مجموع یون های کربنات و بی کربنات استوار است.

۲. تعیین رخساره های آب شیرین تا شور به روش سیکدار

پهنه جنوب شرقی، که در این نوشتار گسل شیرامین نامیده شده است، نشان می‌دهد که این پهنه گسلی دارای حرکت امتدادلغز راستگرد می‌باشد (شکل ۷). پهنه گسلی شیرامین که در واقع انتهای شمال غربی گسل مراغه (Taghipour et al., 2018) می‌باشد، با روند E[°]N145 طولی قریب به ۲۵ کیلومتر و عرض ۱۵۰ تا ۵۰۰ متر دارد. پدیده‌های ژئومورفیک جوان مانند انحراف آبراهه‌ها موید حرکات فعال و جوان بر روی این پهنه گسلی می‌باشند. با استفاده از بازسازی آبراهه‌های منحرف شده و جابجا شده، حداقل میزان جابجایی امتدادلغز راستگرد به میزان ۲۵۰ متر محاسبه شده است (شکل ۸).

عملکرد خاص و چندگانه پهنه گسلی در این بخش موجب هدایت سیالات منشا گرفته از مجموعه سهند و نهشت تراوتن شده است. از سویی حرکات گسل باعث قرار گرفتن واحدها با لیتوژوئی متفاوت شده است. به طوری که واحدهای شیلی کرتاسه در مجاورت سازندهای آهکی قرار گرفته و به صورت سد^۲ در برابر جریان عمل می‌کنند (Caine et al., 1996). در نتیجه بخشی از سیالات اشباع از بی‌کربنات از پهنه گسلی تراوش کرده و باعث رسوب‌گذاری تراوتن در پهنه گسلی شده است (شکل ۸ و ۹). از سوی دیگر با فعالیت و حرکت پهنه گسلی، این سیالات در امتداد پهنه گسلی جریان یافته و پهنه گسلی به عنوان معبر و کانال^۳ برای سیالات عمل کرده است (Gudmundsson et al., 2003). این سیالات ضمن جریان در سیستم‌های شکستگی موجب انحلال بیشتر واحدهای آهکی ژوراسیک و کرتاسه شده‌اند. وجود حفرات کارستی متعدد در این واحدها شاهدی بر این مدعای است (شکل ۱۰).

با فعالیت گسل‌های امتدادلغز، شکستگی‌های کشنشی در پهنه همپوشانی این گسل‌ها ایجاد می‌شوند. ایجاد شکستگی‌های کشنشی، موجب شکل‌گیری فضای خالی و مناسب برای فرار سیالات و بالا آمدن آنها به سطح زمین و ایجاد چشممه‌ها و پشت‌های تراوتن ساز می‌شود. البته لازم به ذکر است که تجزیه بی‌کربنات محلول در آب به دلیل افت

بی‌کربنات بسیار بیشتر از یون کلر می‌باشد و میزان Mg و Ca نسبت به سایر کاتیون‌ها بیشتر است. مقدار کل مواد جامد محلول این آب‌ها بین ۲۱۰ تا ۷۵۵ میلی‌گرم بر لیتر است. این آب‌ها، معمولاً به لحاظ سختی در رده سیک قرار دارند و نسبتاً شیرین و قابل شرب می‌باشند.

۲. رخساره ترکیبی: کیفیت این تیپ در مقایسه با تیپ آب شیرین پایین‌تر است. در این آب‌ها غلظت یون کلر نسبت به رخساره آب‌های شیرین افزایش می‌یابد. مقدار کل مواد جامد محلول در آب‌های ترکیبی، از ۹۵۰ تا ۵۰۰ میلی‌گرم بر لیتر متغیر است. این رخساره از نظر سختی جزو آب‌های سخت است و مقدار بی‌کربنات آن مشابه آبهای شیرین می‌باشد.

۳. رخساره آب‌شور: شامل رده Ca-Mg-Cl است، در این تیپ مقدار کلرید افزایش قابل توجهی دارد در حالی که غلظت بی‌کربنات مشابه با تیپ‌های فوق است. مقدار کل مواد جامد محلول در آب‌های ترکیبی، از ۷۷۰ تا ۲۴۵۰ میلی‌گرم بر لیتر متغیر است و سختی بالایی (بیش از ۶۰۰ میلی‌گرم بر لیتر بر حسب بی‌کربنات کلسیم) دارند.

نتایج حاصل از آنالیز نمونه‌ها، نمودارها و اندازه‌گیری‌های بر جا نشان می‌دهد که اغلب نمونه‌ها در رخساره ترکیبی قرار دارند ولیکن تعدادی از نمونه‌ها مانند S1، S2، S3 و در رخساره آب‌شور قرار دارند.

کنترل کننده‌های ساختاری در منطقه

در منطقه مورد مطالعه همپوشانی گسل‌های امتدادلغز باعث ایجاد تراکشش^۱ و تشکیل این تیپ از نهشته‌ها شده است. بهترین ارتباط بین پشت‌های تراوتن و ساختارهای مجاور در مجموعه داشکسن (جنوب منطقه مورد مطالعه) قابل مشاهده می‌باشد (شکل ۶). مجموعه داشکسن که متشکل از پشت‌هایی با روند عمومی NNW-SSE و ارتفاع تقریباً ۱۵۰ متر (نسبت به دشت مجاور) می‌باشد، به وسیله دو پهنه گسلی با امتداد NW-SE که آرایش پلکانی و راست-پله (Right-stepping) نسبت به هم دارند، احاطه شده است. مطالعات صحراوی و اندازه‌گیری صفحات گسلی در

1. Transtension

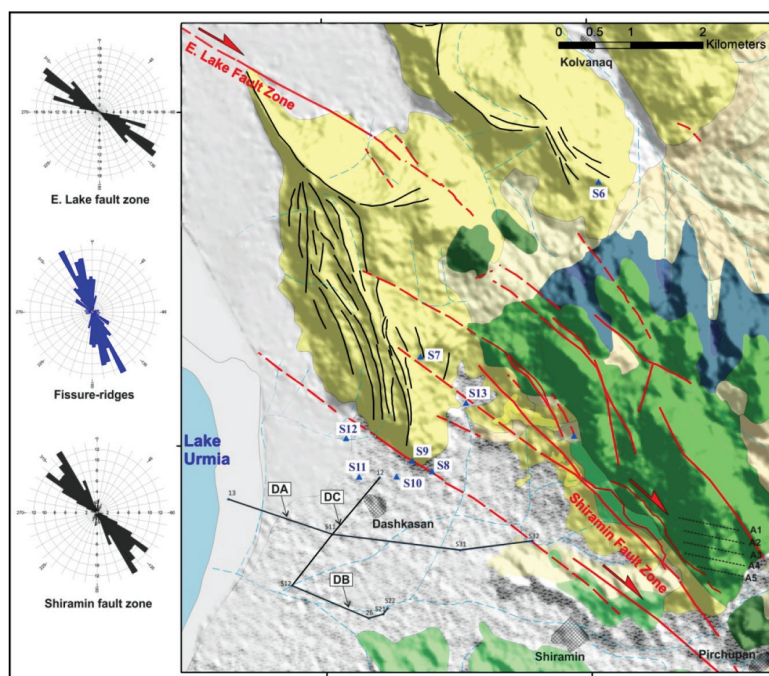
2. Barrier

3. Conduit

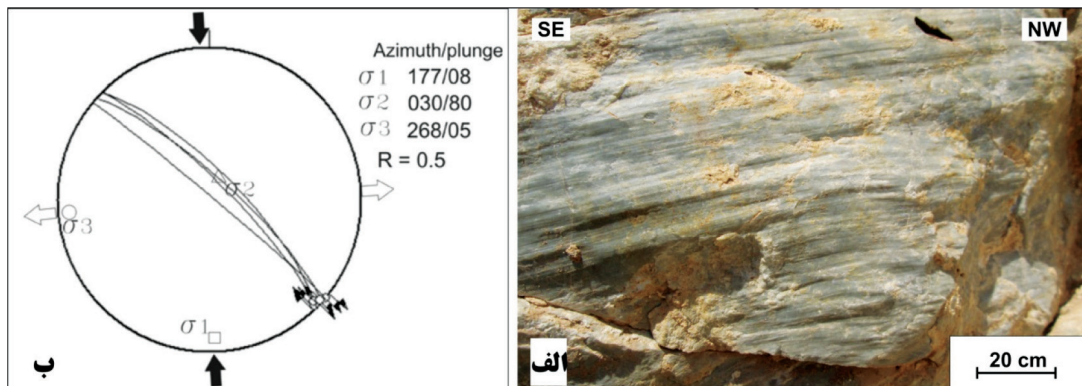
آب شور از طریق سیستم های گسلی به پهنه کششی داشکسن شده است. از جمله پروفیل DA که عمود بر ساحل دریاچه برداشت شده است ارتباط با دریاچه را به خوبی نشان می دهد. شایان ذکر است که وجود این آنومالی ها با نتایج حاصل از مطالعات زئوفیزیکی سازمان زمین شناسی و اکتشافات معدنی کشور در منطقه (شارمد و همکاران، ۱۳۹۴) همخوانی دارد. نتایج حاصل از آنالیزهای شیمیایی و اندمازه گیری های بر جا در مجموعه داشکسن با نتایج مطالعات زئوفیزیک همخوانی دارند. به طوری با حرکت از سمت شرق به سمت غرب، میزان هدایت الکتریکی آب چشممه ها افزایش می یابد. همچنین میزان نسبت های یونی که معرف اختلاط با آب شور می باشد، افزایش می یابد (شکل ۱۲). در این منطقه، بیشترین مقدار EC و نسبت های یونی معرف اختلاط با آب شور، در چشممه S8 دیده می شود. این چشممه در محل تلاقی دو گسل قرار دارد و این وضعیت می تواند نشان دهنده نقش سیستم های شکستگی در هدایت و اختلاط آب های زیرزمینی با ترکیب متفاوت باشد.

فشار در این شکستگی ها و آزاد شدن گاز دی اکسید کربن، حرکت رو به بالا سیالات در امتداد شکستگی های کششی را تسهیل می کند، فرایندی که موجب جوشش آب و خروج گاز از چشممه های تراوerten ساز می شود (شکل ۲). تداوم فعالیت گسل های امتداد لغز، موجب جریان مداوم سیالات در پهنه گسلی و خروج آنها از شکستگی های کششی شده و باعث شکل گیری نهشته های وسیع و بی نظیر شکاف پشته در منطقه شده است.

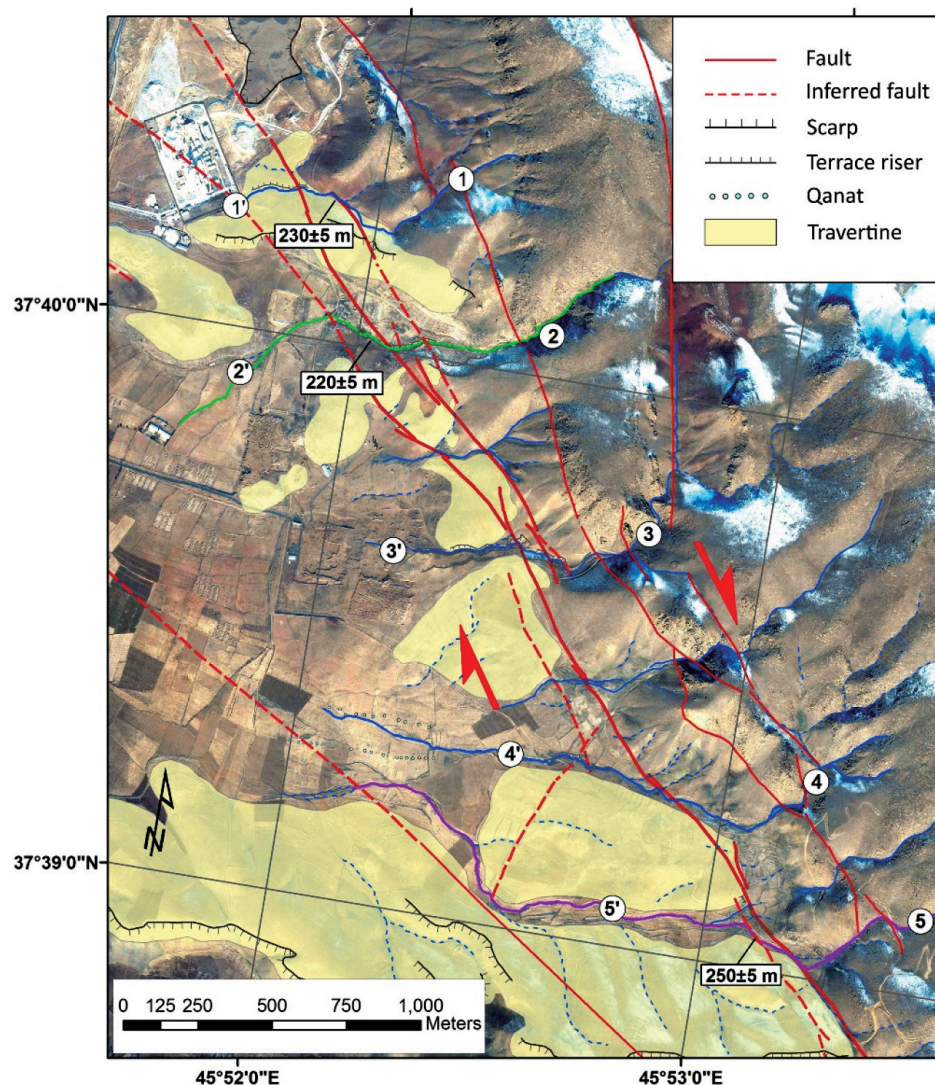
بررسی پروفیل های ژئو الکتریک در مجموعه جنوب مجموعه داشکسن، وجود پهنه های با مقاومت الکتریکی بسیار پایین را نشان می دهد (شکل ۱۱). پهنه های با مقاومت الکتریکی پایین (کمتر از ۳ اهم متر) از جنوب غرب مجموعه داشکسن شروع شده و تا جنوب مجموعه ادامه دارند. از نظر عمقی نیز این آنومالی ها تا عمق ۳۰۰ متری توسعه دارند. با توجه به نفوذ آب شور به آبهای زیرزمینی در این منطقه و شور شدن چاهه ای آب در منطقه شیرامین و مناطق مجاور مجموعه داشکسن، به احتمال زیاد این آنومالی ها ناشی از نفوذ



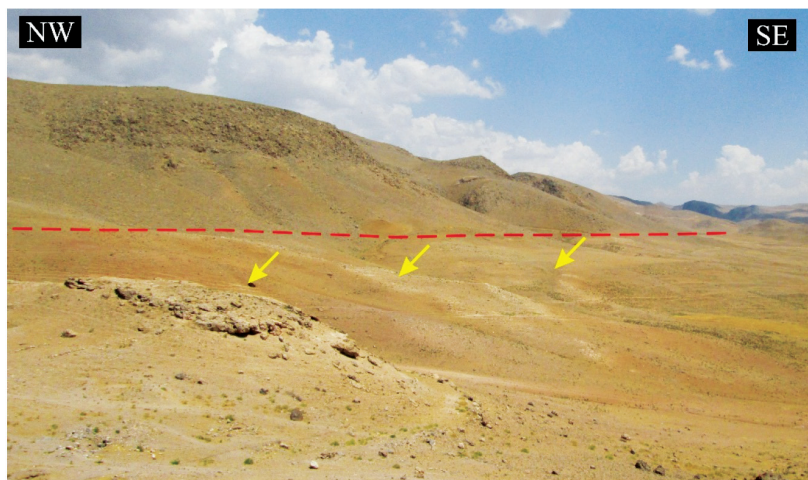
شکل ۶. نقشه ساختاری و زمین شناسی مجموعه داشکسن که بر روی تصویر SRTM پیاده شده است. مجموعه داشکسن در پهنه همپوشانی گسل امتداد لغز شیرامین و گسل شرق دریاچه ارومیه تشکیل شده است. رزیدیگرامها در سمت چپ، به ترتیب از بالا به پایین مربوط به گسل های شرق دریاچه، شکاف پشته ها و شکستگی های کششی در مجموعه داشکسن و گسل های شیرامین می باشند. مثلث های آبی رنگ موقعیت چشممه ها را نشان می دهند. موقعیت پروفیل های ژئو الکتریک در جنوب مجموعه داشکسن (DC تا DA) با خطوط سیاه مشخص شده است



شکل ۷. (الف) صفحه گسلی حاوی خطوط خراش در امتداد پهنه گسلی شیرامین، ب) استریوگرام صفحات گسلی در امتداد پهنه گسلی شیرامین



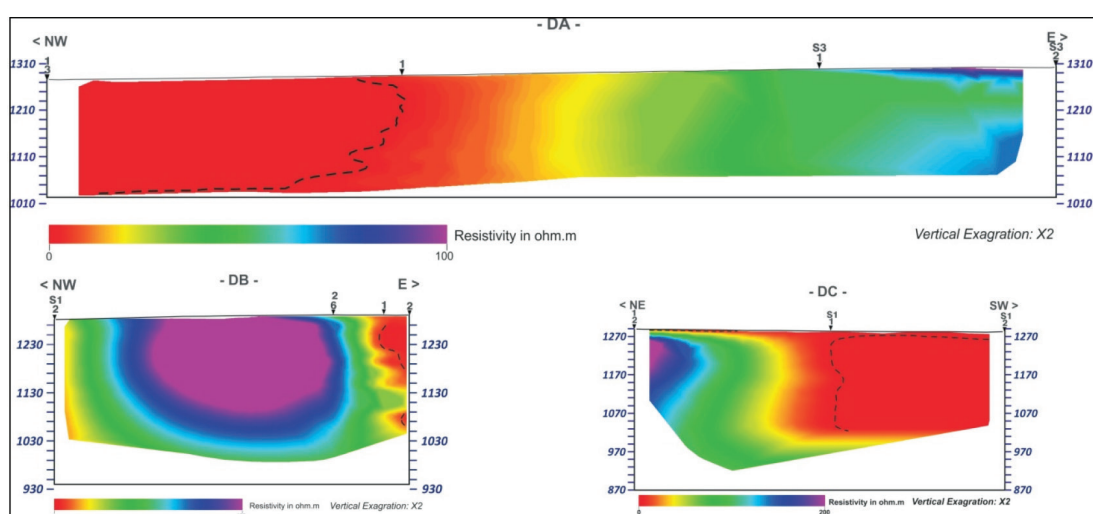
شکل ۸. نقشه مورفوتکنیک پهنه گسلی شیرامین. نهشته‌های تراورتن با رنگ زرد مشخص شده‌اند. آبراهه‌های متناظر در دو سوی پهنه گسلی با رنگ و شماره یکسان نشان داده شده‌اند



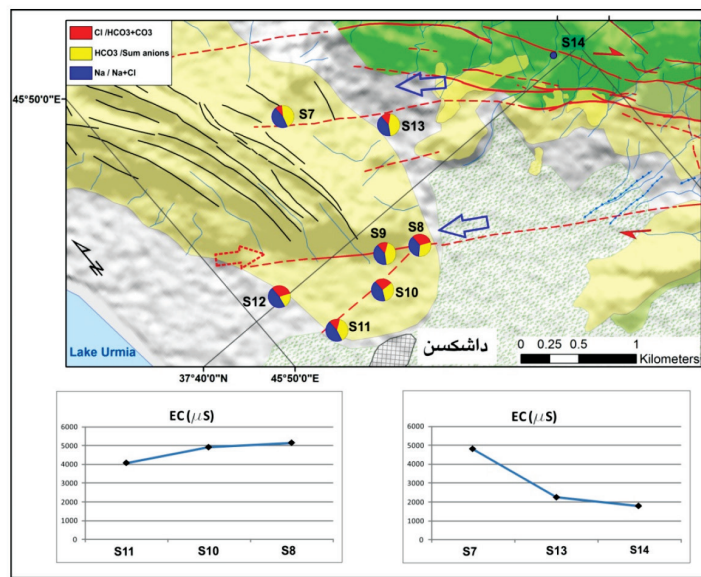
شکل ۹. نهشته های تراوerten (پیکان های زرد رنگ) در امتداد پهنه گسلی شیرامین



شکل ۱۰. حفرات کارستی در سازندهای آهکی کرتاسه در امتداد پهنه گسلی شیرامین



شکل ۱۱. پروفیل های زئوالکتریک در مجاورت مجموعه داشکسن. خطوط خطچین، کنتور مقاومت الکتریکی ۳ اهم متر را نشان می دهند. موقعیت پروفیل ها در شکل ۶ نشان داده شده است



شکل ۱۲. نقشه تغییرات نسبت‌های یونی در چشمه‌های مجموعه داشکسن که بر روی نقشه زمین‌شناسی پیاده شده است. پیکان‌های آب رنگ مسیر احتمالی جریان آب‌شور را نشان می‌دهند. نمودارها روند تغییرات EC را در فاصله بین چشمه‌ها نشان می‌دهند

شده و در زیر مجموعه ادامه دارند (شکل ۱۴). این پهنه‌ها در شرق این مجموعه وجود ندارند ولیکن به سمت غرب و دریاچه ارومیه توسعه دارند. از نظر عمقی نیز این آنومالی‌ها تا عمق ۳۰۰ متری در زیرمجموعه قزل داغ توسعه دارند. با توجه به نفوذ آب‌شور به آبهای زیرزمینی در این منطقه و شور شدن چاهه‌ای آب در مجاور مجموعه، با احتمال زیاد این آنومالی‌ها ناشی از نفوذ آب‌شور از طریق سیستم‌های گسلی به پهنه کششی قزل داغ شده است. شایان ذکر است که وجود این آنومالی‌ها با نتایج حاصل از مطالعات ژئوفیزیکی سازمان زمین‌شناسی در منطقه (شارمد و همکاران، ۱۳۹۴) همخوانی دارد. عامل دیگری که می‌تواند باعث کاهش مقاومت الکتریکی در این پهنه شود، وجود محتوای بالای (شار) گاز CO_2 در آبهای زیرزمینی موجود در پهنه‌های گسلی این منطقه است (Byrdina et al., 2014).

نتایج حاصل از آنالیزهای شیمیایی و اندازه‌گیری‌های برجا در مجموعه قزل داغ نیز با نتایج مطالعات ژئوفیزیک همخوانی دارند. به طوری با حرکت از سمت شرق به سمت غرب، میزان هدایت الکتریکی آب چشمه‌ها افزایش می‌یابد.

از نظر ساختاری مشابه وضعیتی که در مجموعه داشکسن وجود دارد، در سایر بخش‌های منطقه مورد مطالعه، به ویژه مجموعه قزل داغ در شمال منطقه مورد مطالعه نیز وجود دارد. ولیکن به دلیل ساختوسازها و مهم‌تر از آن به دلیل پوشش گیاهی که اطراف این مجموعه را دربرگرفته است، امکان بررسی دقیق ساختارها وجود ندارد. با این حال بر اساس پردازش داده‌های DEM و تصاویر ماهواره‌ای، موقعیت گسل‌های احتمالی مجاور این مجموعه و بخش‌های مرکزی منطقه مورد مطالعه، شناسایی شده است (شکل ۱۳). در این منطقه همپوشانی گسل‌های شرق و غرب قزل داغ با روند تقریبی $E = N120^\circ$ ، موجب ایجاد تراکشش¹ شده و شرایط را برای ایجاد شکستگی‌های کششی و بالا آمدن سیالات اشباع از بی‌کربنات فراهم کرده است. گسل غرب قزل داغ در سمت غرب، به پهنه گسلی شرق دریاچه ارومیه می‌پیوندد که موجب جابجایی راستگرد شاخه‌های دلتایی رودخانه آجی چای شده است (Taghipour et al., 2018).

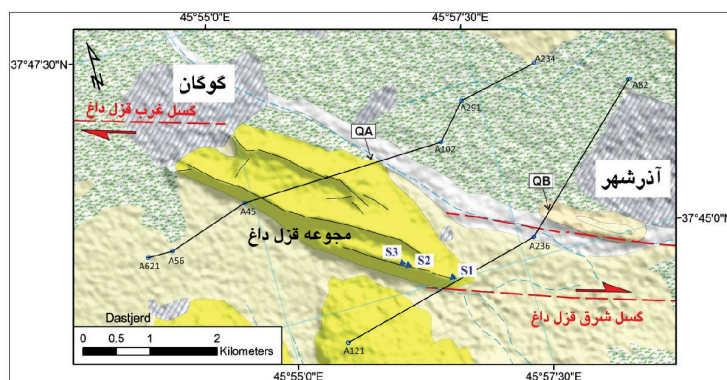
بررسی پروفیل‌های ژئوالکتریک در مجموعه قزل داغ نیز وجود پهنه‌های با مقاومت الکتریکی بسیار پایین را نشان می‌دهد. پهنه‌های با مقاومت الکتریکی پایین (کمتر از ۳ اهمتر) از شرق مجموعه قزل داغ شروع

1. Transtension

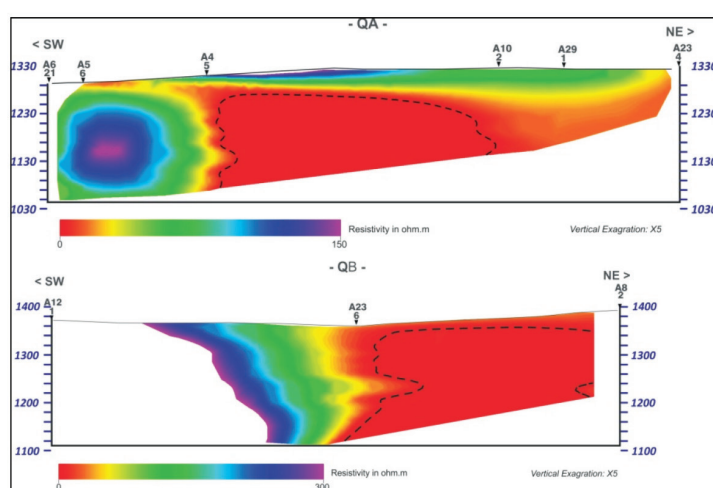
نداشته و ویژگی های هیدروژئولوژیکی متفاوتی داردند. با در نظر گرفتن نتایج به دست آمده در این پژوهش، مدل هیدروژئولوژیک سه بعدی برای نشان دادن رابطه عوامل مختلف زمین شناسی و ساختاری در منطقه ارائه شده است (شکل ۱۶). عملکرد پهنه های گسلی امتداد لغز به عنوان کanal، موجب هدایت آب های زیرزمینی از ارتفاعات به سمت دشت مجاور و دریاچه ارومیه شده است. کشش ایجاد شده در پهنه همپوشانی گسل ها موجب افت فشار شده و شرایط را برای بالا آمدن آب های زیرزمینی در امتداد شکستگی های کششی فراهم می کند. از سوی دیگر پیشروی و نفوذ آب شور دریاچه به سمت شرق می تواند از طریق سیستم های

همچنین میزان نسبت های یونی که معرف اختلاط با آب شور می باشد، افزایش می بارد (شکل ۱۵).

میزان نسبت های یونی و نیز دمای متفاوت در چشممه های نزدیک به هم، مانند چشممه های S8 و S9 در مجموعه داشکسن و چشممه های S2 و S3 در مجموعه قزل داغ، نشان می دهد که منشا این چشممه ها از آبخوان های متفاوتی می باشد. حفاری های انجام یافته در جنوب مجموعه داشکسن که به منظور اکتشاف سنگ های تزئینی تراورتن و اوپیکس انجام یافته، این پدیده را تایید می کند. نتایج حاصل از این مطالعات نشان می دهد که لایه های نفوذناپذیر اوپیکس موجب تشکیل سفره های تحت فشار متعدد شده اند که با یکدیگر ارتباط



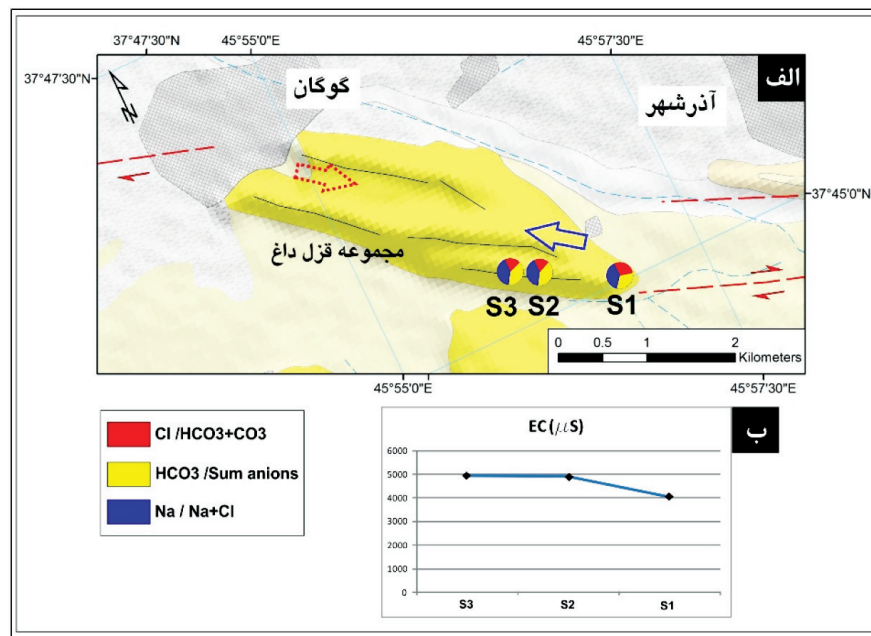
شکل ۱۳. نقشه ساختاری و زمین شناسی مجموعه قزل داغ که در پهنه همپوشانی گسل های امتداد لغز شرق و غرب قزل داغ تشکیل شده است. مثبت های آبی رنگ موقعیت چشممه ها را نشان می دهند. موقعیت پروفیل های ژئو الکتریک در مجاورت مجموعه قزل داغ (Gash Fault Group) با خطوط سیاه مشخص شده است (QB و QA).



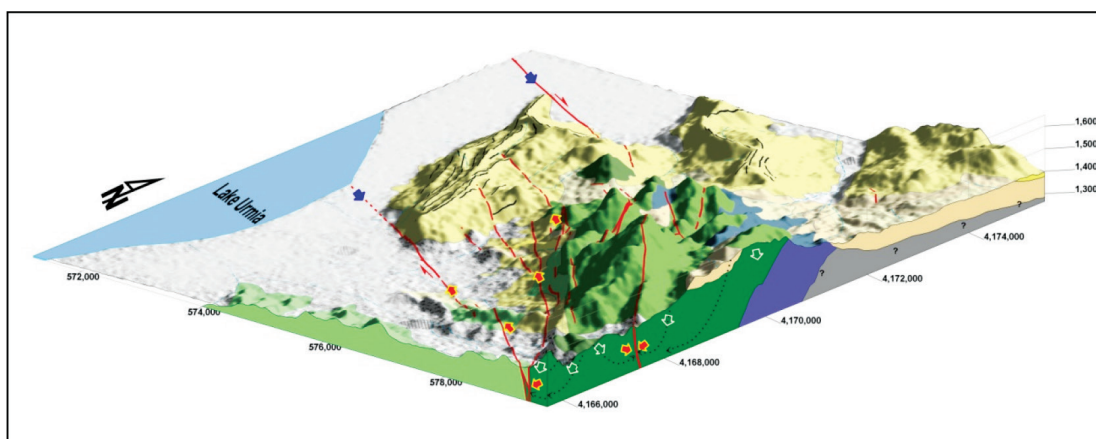
شکل ۱۴. پروفیل های ژئو الکتریک در مجاورت مجموعه قزل داغ. خطوط خطر چین، کنتور مقاومت الکتریکی ۳ اهمتر را نشان می دهند. موقعیت پروفیل ها در شکل ۱۳ نشان داده شده است.

چشمه‌ها و محل تندیه که در ارتفاعات مجاور (دامنه‌های سهند) قرار دارد، تامین می‌شود. آزاد شدن گاز در اثر تجزیه بیکرینات در امتداد شکستگی‌ها نیز یک عامل کمکی برای بالا آمدن و جوشش آب در این چشمه‌ها می‌باشد. مدل ارائه شده ارتباط هیدرولیکی دریاچه ارومیه و منابع آبی سازند سخت در شرق دریاچه ارومیه را نشان می‌دهد.

شکستگی نیز صورت بگیرد. محیط کششی ایجاد شده در پهنه همپوشانی گسل‌ها می‌تواند فضای مناسبی را برای نفوذ و هجوم آب‌های شور ایجاد کند. در واقع این محیط محل تلاقی و اختلاط دو نوع آب شیرین کربناته و آب‌شور کلوروره شده است. بخش عمده‌ای از انرژی لازم برای بالا آمدن آب زیرزمینی در امتداد شکستگی، توسط اختلاف تراز مظہر



شکل ۱۵. (الف) نقشه تغییرات نسبت‌های یونی در چشمه‌های مجموعه قزل داغ که بر روی نقشه زمین‌شناسی پیاده شده است. پیکان آبی رنگ مسیر تقریبی جريان آب زیرزمینی و پیکان قرمز رنگ مسیر احتمالی جريان آب‌شور را نشان می‌دهد، (ب) نمودار، روند تغییرات EC را در فاصله بين چشمه‌ها نشان می‌دهد



شکل ۱۶. مدل هیدرولوژیک سه‌بعدی که از تلفیق نقشه زمین‌شناسی و دادهای DEM بهره شده است. پیکان‌های سفید مسیر جريان آب‌های جوی در اثر ثقل را نشان می‌دهند. پیکان‌های قرمز مسیر جريان سیالات در پهنه‌های گسلی و پیکان‌های آبی مسیر احتمالی جريان شورابه‌ها در پهنه‌های گسلی را نشان می‌دهند

نتیجه گیری

بر اساس نتایج اندازه گیری دما و PH و با در نظر گرفتن تیپ نهشته های تراوerten که از نوع شکاف پشته می باشند، چشمehا های تراوerten ساز منطقه از نوع ترموزن (Thermogene) با منشا هیدروترمال می باشد.

چشمehا های تراوerten ساز در محل همپوشانی گسل های امتداد لغز و تراکشش ناشی از آن ایجاد شده اند. کشش محلی در این زون ها باعث ایجاد شکستگی های کششی شده و موجب بالا آمدن سیالات اشباع از بی کربنات و نهشت تراوerten می شود.

بررسی نمودارهای هیدروژئوشیمیایی مانند نمودارهای پایپر و دوروف نشان می دهد که آب چشمehا اختلاط یافته اند که یکی از منابع، اختلاط با آب های جوی می باشد. ولیکن میزان نسبت های یونی و بالا بودن یون های سدیم و کلر نشان دهنده اختلاط آب چشمehا با آب شور نیز می باشد.

مجاورت چشمehا های تراوerten ساز با دریاچه ارومیه و نتایج مطالعات ژئوفیزیکی و پروفیل های ژئو الکتریک که در مجاورت این چشمehا برداشت شده اند، نفوذ آب شور دریاچه ارومیه و یا شورابه های مرتبط با آن را در پهنه های زیر این چشمehا و زیر مجموعه های تراوerten را تایید می کنند. با این حال برای تعیین دقیق تر منشا اختلاط آب ها در منطقه، مطالعات ایزوتوپی پیشنهاد می شود.

منابع

- دانشگاه پیام نور، ۳۷۶. قدریزاده، ا.، ۱۳۸۱. نقشه زمین شناسی ۱:۱۰۰۰۰۰ آذر شهر. سازمان زمین شناسی و اکتشافات معدنی کشور.
- Alavi, M., 1994. Tectonic of the Zagros orogenic belt of Iran: New data and interpretations. *Tectonophysics*, 229, 211-238.
- Al-Bassam, A.M., Awad, H.S. and Al-Alawi, J.A., 1997. Durov Plot: A computer program for processing and plotting hydrochemical data. *Ground Water*, 35, 362-367.
- Altunel, E., 2005. Travertines: neotectonic indicators. In: Ozkul, M., Yagiz, S., Jones, B., (eds). Travertine, Proceedings of 1st International Symposium on Travertine, September 21-25, 2005, Denizli-Turkey, 120-127, Kozan Offset, Ankara.
- Altunel, E. and Hancock, P.L., 1993. Active fissuring and faulting in Quaternary travertines at Pamukkale, western turkey. *Zeitschrift für Geomorphologie (Z Geomorph NF)*, 94, 285-302.
- Atabay, E., 2002. The formation of fissure-ridge type laminated travertine-tuff deposits microscopical characteristics and diagenesis, Kirsehir, central Anatolia. *Bulletin of the Mineral Research and Exploration*, 123-124, 59-65.
- Bargar, K.E., 1978. Geology and thermal history of Mammoth Hot Springs, Yellowstone National Park. *Bulletin of the United States Geological Survey*, 1444, 1-55.
- Byrdina, S., Vandemeulebrouck, J., Cardellini, C., Legaz, A., Camerlynck, C., Chiodini, G., Lebourg, T., Letort, J., Motos, G., Carrier, A. and Bascou, P., 2014. Relations between electrical resistivity, carbon dioxide flux, and self-potential in the shallow hydrothermal system of Solfatara (Phleorean Fields, Italy). *Journal of Volcanology and Geothermal Research*, 283, 172-
- تقی پور، ک. و عباسی، م. ر.، ۱۳۸۴. تراویتونیک: کاربرد نهشته های تراوerten در تکتونیک فعال. بیست و چهارمین گردهمایی علوم زمین. سازمان زمین شناسی و اکتشافات معدنی کشور، ۵۷-۵۶.
- تقی پور، ک. و مجل، م.، ۱۳۹۲. ساختار و نحوه تشکیل پشتنه های تراوerten در منطقه آذر شهر، آذربایجان، شمال باختر ایران. *فصلنامه زمین-شناسی ایران*، ۲۵، ۱۵-۳۳.
- شارمد، ت.، حسینی، س. ع. و محمدزاده، س.، ۱۳۹۴. گزارش هیدروژئوشیمی محدوده های مطالعاتی آذر شهر، شیرامین، عجب شیر و مراغه. سازمان زمین شناسی و اکتشافات معدنی کشور، ۱۶۵.
- صداقت، م.، ۱۳۷۸. زمین و منابع آب، انتشارات

182. DOI:10.1016/j.jvolgeores.2014.07.010.
- Caine, J.S., Evans, J.P. and Forster, C.B., 1996. Fault zone architecture and permeability structure. *Geology*, 24, 1025–1028.
 - Chafetz, H.S. and Folk, R.L., 1984. Travertines: depositional morphology and the bacterially constructed constituents. *Journal of Sedimentary Petrology*, 54, 289–316.
 - Dilsiz, C., 2006. Conceptual hydrodynamic model of the Pamukkale hydrothermal field, southwestern Turkey, based on hydrochemical and isotopic data. *Hydrogeology Journal*, 14, 562–572.
 - Ford, T.D. and Pedley, H.M., 1996. A review of tufa and travertine deposits of the world. *Earth Science Review*, 41, 117–175.
 - Guo, L and Riding, R., 1998. Hot-spring travertine facies and sequences, late Pleistocene, Rapolano Terme, Italy. *Sedimentology*, 45, 163–180.
 - Gudmundsson, A., Gjesdal, O., Brenner, S.L. and Fjeldskaar, I., 2003. Effects of linking up of discontinuities on fracture growth and groundwater transport. *Hydrogeology Journal*, 11, 84–99. doi:10.1007/s10040-002-0238-0.
 - Hancock, P.L., Chalmers, R.M.L., Altunel, E. and Çakir, Z., 1999. Travitronics: using travertines in active fault studies. *Journal of Structural Geology*, 21, 903–916.
 - Hounslow, A.W., 1995. Water quality data: analysis and interpretation. CRC Press LLC, 416.
 - Liu, Y., Zhou, X., Fang, B., Zhou, H. and Yamanaka, T., 2012. A preliminary analysis of the formation of travertine and travertine cones in the Jifei hot spring, Yunnan, China. *Environment Earth Sciences*, 66:1887–1896.
 - Pantecost, A., 2005. Travertine. Springer Publications, 445.
 - Sikdar, P. K., Sarkar, S. S. and Palchoudhury, S., 2001. Geochemical evolution of groundwater in the Quaternary Aquifers of Calcutta and Howrah, India. *Journal of Asian Earth Sciences*, 19, 579–594.
 - Singhal, B.B.S. and Gupta, R.P., 2010. Applied Hydrogeology of Fractured Rocks. Springer, 408.
 - Taghipour, K., Khatib, M.M., Heyhat, M., Shabanian, E. and Vaezihir, A., 2018. Evidence for distributed active strike-slip faulting in NW Iran: The Maragheh and Salmas fault zones. *Tectonophysics*, 742–743, 15–33. <https://doi.org/10.1016/j.tecto.2018.05.022>.